

Homojen Olmayan Manyetik Alanlarda Manyetik Rezonans Görüntüleme Sisteminin, Üç Boyutlu Uzayda Nümerik Modellemesi

Volkan Emre Arpinar, Hüseyin Yiğitler, B. Murat Eyüboğlu

Orta Doğu Teknik Üniversitesi

Elektrik ve Elektronik Mühendisliği Bölümü

Balgat, Ankara

arpinar@metu.edu.tr, hyigitler@yahoo.com, meyub@metu.edu.tr

Özet: Bu çalışmada, biyolojik dokuların incelenmesi için homojen olmayan manyetik alanlar kullanılarak tasarlanacak bir Manyetik Rezonans Görüntüleme (MRG) sisteminin, üç boyutlu uzayda sayısal modellemesi yapılmıştır. Bu modelde, MRG sistemlerinde kullanılan ana manyetik alan, Radyo Frekans (RF) ve gradyan sorgularının oluşturduğu manyetik alanlar konuma bağlı olarak tanımlanmıştır. Gradyan ve RF uyarı sorgularına gönderilen uyarılarla zamanla bağlı olarak tanımlanmış ve bu uyarıların sonucu olarak, görüntülenen cisimden, yayılanan sinyaller, RF alıcı sorgusunun modeline göre toplanmıştır. Toplanan sinyaller, demodüle edildikten sonra modelin çıkışları olarak verilmiştir. Modelin doğruluğu, analitik çözümleri bulunabilen, sabit manyetik alan girdileri sonuçlarla analitik sonuçlar karşılaştırılarak sınanmıştır. Bu model, taşınabilir, düşük maliyetli, sabit olmayan manyetik alanda çalışan MRG sistemlerinin tasarımını kolaylaştırır test platformunun oluşturulmasını olanaklı kılacaktır.

1. Giriş

Bir atom çekirdeği proton ve nötron denilen parçacıklardan oluşur. Tek sayıda protonu yada tek sayıda nötronu olan bir atom spin oluşturur. Spinler, düşündürmek uygulanan manyetik alanlarla etkileşime girerek mikroskopik bir miktan gibi davranışları ve elektromanyetik dalga yayarlar. Bu da Nükleer Manyetik Rezonans (NMR)'ın temelini oluşturur. İlk olarak 1946'da Felix Bloch ve Edward Purcell [1] tarafından gözlemlenen bu durum, maddenin kimyasal özelliklerini belirlemek için kullanılabilcegi gibi klinik olarak insan vücudundaki dokuların fizyolojik ve patolojik durumlarını gözlemecek için kullanılabılır. Bunun için geliştirilmiş yönteme MRG denilmektedir. MRG bir cismen fiziksel ve kimyasal özelliklerinin dağılımını, ölçülen NMR sinyallerinden oluşturan tomografik görüntüleme teknigidir. Bu yöntem, Lauterbur tarafından 1973 yılında önerilmiştir [2].

Günümüzde kullanılan klinik MRG sistemleri başlıca, sabit homojen ana manyetik alan oluşturan bir miktan,

spinleri uyarmak ve spinler tarafından yayılanan sinyali algılamak için Radyo Frekans (RF) sorguları, konum bilgisini yayılanan sinyale kodlamak için manyetik alan konuma bağlı olarak değiştiren gradyan sorguları ve sözü edilen kısımları kontrol eden ve alınan sinyallerden görüntü oluşturan kontrol ünitesinden oluşur.

Klinik MRG sistemlerinde homojen ana manyetik alanı yaratmak için, büyük ve pahalı olan süper iletken sorgular kullanılmaktadır. Farklı olarak son zamanlarda geliştirilen bazı NMR sistemlerinde, ana manyetik alanı homojen olmayan, küçük ebatlı sabit miktanlar kullanılmaya başlamıştır [3]. Ancak bu durumda cihazın sabit miktanıyla, görüntülenecek bölgelerin büyütüklükleri birbirine benzer olduğu için, oluşan ana manyetik alan sabit kabul edilemez. Bu nedenle bu tipteki cihazlar için farklı sinyal alma teknikleri geliştirilmiştir.

Ayrıca bu sistemler petrol araştırmalarında, tendonluk yön bağımlı özelliklerin ölçümlünde kullanılmıştır. Daha sonra bu sistemler geliştirilerek önce tek boyutlu ve en sonunda da üç boyutlu [4] görüntüler elde edilmiştir. Bu fikir MRG için de kullanılabilir ve böylece ucuz ve taşınabilir MRG sistemleri tasarlanabilir. Böyle bir tasarımın doğruluğunu sayısal modelleme ile sınaması, tasarım sürecini hızlandıracak ve masrafları düşürecektir.

Ancak MRG sayısal modelleri genellikle homojen ana manyetik alan ve ona dik RF alanları için yapılmıştır [5].

Homojenliğin tam sağlanamadığı durumlarda (değişimlerin küçük olduğu kabul edilerek) sonuçların nasıl etkilendiğini bulmak için de bilgisayar modellemesi mevcuttur [6]. Ayrıca Bittoun ve arkadaşları Bloch denklemelerini kullanarak MRG benzemetmini tek boyutta her bir nokta için aynı çözerek gerçekleştirdiler [7]. Summers ve Olsson aynı teknigi ikinci ve üçüncü boyuta taşıdilar [8]-[9]. Sistemin modellenmesi işlemsel olarak yoğun olduğundan modelin çözümü Brenner ve arkadaşları tarafından parçalara ayrılarak eş zamanlı çözülmüş ve çözüm hızlandırılmıştır [10].

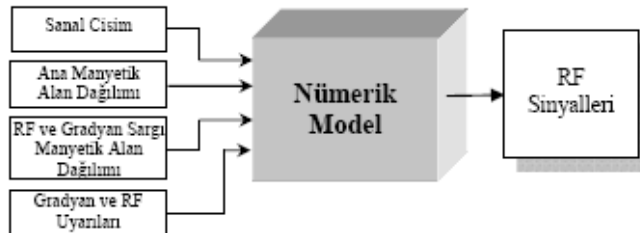
2. Kuram

Atomlar oluşturduğu spinlere makroskopik açıdan bakıldığından MRG ile görüntülenen nesnede bulunan, aynı tipte çekirdeklerden oluşan grubu nükleer spin sistemi, bu spinlerin oluşturdukları manyetizmaların vektörel

toplamına da manyetizasyon vektörü (\vec{M}) denir. Bu vektörün değişik manyetik alanlardaki davranışları matematiksel olarak Bloch tarafından aşağıdaki şekilde modellenmiştir [1].

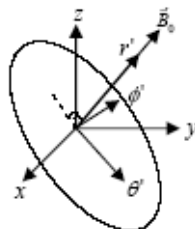
$$\frac{d\vec{M}}{dt} = j\vec{M} \times \vec{B} - \begin{pmatrix} M_x/T_2 \\ M_y/T_2 \\ (M_z - M_0)/T_1 \end{pmatrix} \quad (1)$$

Yukarıda bahsedilen Bloch denklemi gevşeme, kimyasal kayma, manyetik alan inhomojenliği, yayılanan sinyalin zayıflaması etkilerini modelleyebilmektedir [9]. Denklemdeki boylamsal (T_1) ve enlemsel (T_2) zaman katsayıları gevşeme işlemini modellemektedir. Bu denklem çözümü için tasarlanan MRG sisteminin modelin girdi ve çıktıları Şekil 1'de gösterilmiştir.



Şekil 1. Nümerik modelin girdi ve çıktıları.

Bu denklemenin sayısal olarak konuma ve zamana bağlı olarak her bir nokta için aynı çözülmesiyle, manyetizasyon vektörü bulunabilir. Ancak bu durum işlemesel olarak çok yoğun olduğundan farklı bir yöntem kullanılmıştır. Bunu için MRG sistemlerinde standart olarak kullanılan girdi durumlarında manyetizasyon vektörünün analitik çözümleri kullanılmıştır. Bu analitik çözümlerin kullanılması için, üç boyutlu uzayda denklemenin çözüleceği her bir hacim elemanında ana manyetik alan vektörü (\vec{B}_0) ve Radyo Frekans vektörü (\vec{B}_1) o nokta için sabit kabul edilmiş ve bu noktalarda yeni bir koordinat sistemi tanımlanmıştır (r', θ', ϕ'). Bu koordinat sisteminde r' yönü \vec{B}_0 ile aynı yönlü kabul edilmiş, aynı küresel koordinatlarda olduğu gibi θ' ve ϕ' yönü bulunmaktadır. Bu koordinat sistemi Şekil 2'de gösterilmiştir. Bu sayede manyetizasyon vektörleri zamana ve pozisyon'a bağlı olarak bulunmuştur.



Şekil 2. Bloch denklemi çözümünün kolaylaştırıcı yeni koordinat sistemi.

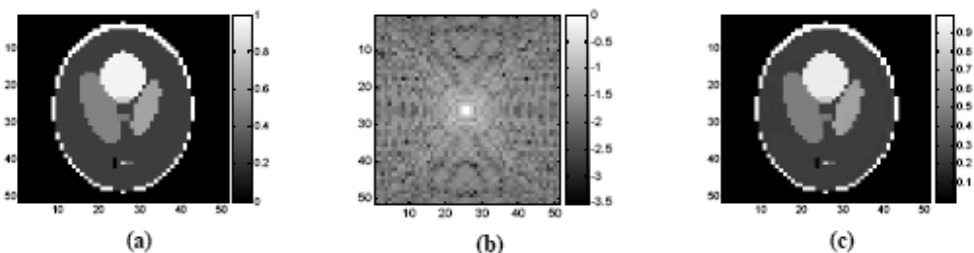
Bulunan magnetizasyon vektorleri uygulanan manyetik alanla zamanla değiştiği için RF sargısında bir sinyal oluşturacaktır. Bu alnan sinyal Faraday'ın elektromanyetik induksiyon kanunu ve karşılıklık prensibi kullanılarak denklem (2)'deki gibi bulunabilir.

$$V(t) = - \iiint_{\text{cisim}} \left(B_{1,x} \frac{\partial M_x}{\partial t} + B_{2,y} \frac{\partial M_y}{\partial t} + B_{3,z} \frac{\partial M_z}{\partial t} \right) dx dy dz \quad (2)$$

3. Sonuçlar

Cisim olarak kullanılan 2 boyutlu proton yoğunluk dağılımı Şekil 3.(a)'da gösterilmiştir. Gevşeme katsayıları cisimde sabit kabul edilmiştir ($T_1 = 1s$, $T_2 = 0.1s$). Modelin doğruluğu belirtilen cisim kullanılarak, analitik

çözümleri bulunabilen, sabit ana manyetik alan ($\vec{B}_0 = 0.1\hat{z}$) ve ona dik RF manyetik alan ($\vec{B}_1 = 1 \cdot 10^{-4}\hat{x}$) ile pozisyonla doğrusal olarak değişen \hat{z} yönlü gradyan manyetik alanları seçilmiştir. Uyanlar için standart spin yankı darbe dizini kullanılmıştır ($T_R = 5s$, $T_E = 5ms$). Bu girdiler için nümerik model oluşturulmuş ve çıkış sinyali elde edilmiştir. Elde edilen sinyalin büyütülüğü logaritmik ölçekte Şekil 3.(b)'de gösterilmiştir. Daha sonra bu sinyal FFT tabanlı geri çatım algoritması kullanılarak proton yoğunluk dağılım elde edilmiştir (Şekil 3.(c)). Cısmın proton yoğunluğunun sıfırdan farklı olduğu yerlerde göreceli hata %0.0307 olmuştur, yoğunluğun sıfır olduğu yerde ise ortalama gürültü değeri $1.71 \cdot 10^{-5}$ olmuştur.



Şekil 3. (a) Proton yoğunluk dağılımı, (b) Simulator çıktıtı, (c) Çıktıdan elde edilen proton yoğunluk dağılımı.

Yukarıda, çıkan sonuçlar ile analitik sonuçlar karşılaştırılarak nümerik modelin doğruluğu sınanmıştır. Aynı 3 boyutlu, proton yoğunluğu ve gevşeme katsayıları pozisyon'a bağlı olarak değişen bir test cisim'i kullanılabilir. Aynı şekilde bu test cisiminin maruz kaldığı zamana ve pozisyon'a bağlı olarak değişen manyetik alanlar tanımlanabilir. Tanımlanan bu girdiler ile gerçeklenen nümerik model kullanılarak sistemin çıktıları oluşturulabilir. Bu çıktılar kullanılarak tasarlanacak geriçatım algoritmalarıyla 3 boyutlu görüntüler oluşturulabilir.

Teşekkür

Bu çalışma ODTÜ BAP-2005-07-02-00-36' nolu projesi tarafından desteklenmiştir.

Kaynaklar

- [1]. Z. P. Liang, P. C. Lauterbur, "Principles of Magnetic Resonance Imaging," IEEE yayımları, 2000.
- [2]. P.C. Lauterbur, "Image formation by induced local interactions," Nature, 242, s. 190-191, 1973.
- [3]. G. Eudmann, R. Savelsberg, P. Blümlein ve B. Blümich, "The NMR MOUSE, a Mobile Universal Surface Explorer," Journal of Magnetic Resonance, 122, s. 104-109, 1996.
- [4]. J. Perlo, F. Casanova ve B. Blümich, "3D imaging with a single-sided sensor: an open tomography," Journal of Magnetic Resonance, 166, 2, s. 228-235, 2004.
- [5]. P. P. Hsu ve J. H. Chen, "A Simulation of MR Imaging Sequences Using the Numerical Solutions of Block Equations," Proceedings of the 16th Annual International Conference of the IEEE EMBS. Bölüm 1, Baltimore, A.B.D. s.574-575, 1994.
- [6]. D. A. Yoder, Y. Zhao, C. B. Paschal ve J. M. Fitzpatrick, "MRI simulator with object-specific field map calculations," Magnetic Resonance Imaging, 22, 3, s. 315-328, 2004.
- [7]. J. Bittoun, J. Taquin ve M. Sauzade, "A computer algorithm for the simulation of any nuclear magnetic resonance (NMR) imaging method," Magnetic Resonance Imaging, 3, s. 363-376, 1984.
- [8]. R. M. Summers, L. Axel ve S. Israel, "A computer simulation of nuclear magnetic resonance imaging," Magnetic Resonance in Med., 3, s. 363-376, 1986.
- [9]. M. B. E. Olsson, R. Wierstam ve B. R. R. Persson, "A computer simulation program for MR imaging: Application to RF and static magnetic field imperfections," Magnetic Resonance in Med., 34, s. 612-617, 1995.
- [10]. A. R. Brenner, J. Kürsch, and T. G. Noll, "Distributed Large-Scale simulation of MR imaging," Magnetic Resonance Materials in Physics, Biology, and Medicine, 4, 2, s. 291-292, 1996.